## (B) 日本国特許庁(JP)

① 特許出願公開

## ⑩ 公 開 特 許 公 報 (A) 昭61 - 15916

@Int\_Cl\_4

識別記号

庁内整理番号

❸公開 昭和61年(1986)1月24日

C 21 D 8/00 B 21 B 1/22 7047-4K 7516-4E

審査請求 未請求 発明の数 1 (全4頁)

②特 願 昭59-135296

❷出 願 昭59(1984)7月2日

⑩発明者 河野

台 大分市大字西ノ洲1番地 新日本製鐵株式会社大分製鐵所

内

⑫発 明 者 髙 橋

学 大分市大字西ノ洲1番地 新日本製鐵株式会社大分製鐵所

内

⑫発 明 者 脇 田 淳

大分市大字西ノ洲1番地 新日本製鐵株式会社大分製鐵所

内

⑫発 明 者 江 坂 一 彬

大分市大字西ノ洲1番地 新日本製鉱株式会社大分製鉱所

内

⑪出 願 人 新日本製鐵株式会社

東京都千代田区大手町2丁目6番3号

砂代 理 人 弁理士 矢葺 知之

外1名

明 細 書

1.発明の名称

熱間圧延鋼材の材質調整方法

2.特許請求の範囲

通常鋼を熱間圧延し、フェライトが生成する範囲で冷却停止して材質を調整する方法において、下記のフェライト粒度推定式を満足する熱間圧延 条件、冷却速度、冷却停止温度を設定して目標材質を形成することを特徴とする熱間圧延鋼材の材質調整方法。

 $N_{\alpha} = A_1 + A_2 \times \log \epsilon' total + A_3 \times$ 

log(0.45 × C eq + 0.84) + A 4 × log Z

+ A  $_5$   $\times$  ( $\mathfrak{L}_n$ CR) + A  $_6$   $\times$  log(CT + 273)

Να : フェライト粒度番号

C eq: カーボン当量 ( = C + M n/6、単

位%)

CR: 冷却速度 (\*c/s)

CT: 巻取温度又は冷却停止温度 (°C)

乙: 最終パスのZener-Hollomorパラメ

**- ター** 

 $Z = \dot{\epsilon} \times exp(Q/RT)$ 

ε = 最終パスの歪速度 (sec-1)

T=最終パスの圧延温度(K)

Q=活性化エネルギー

C eq (cal/mol)

= 75282.353 - 42745.098 ×

R = 気体定数

**A**:

 $\varepsilon'$  to tal:  $\varepsilon'_{i} = \varepsilon_{i} \times \exp\{-\left(\frac{t i}{\tau}\right)^{\kappa}\}$ 

 $k = 1.8 \times 10^{-5} \times \dot{\epsilon}_{\star}^{0.38} \times exp(\frac{20064}{RT})$ 

 $\tau = 2.66 \times 10^{-8} \times exp(\frac{41300}{RT})$ 

 $\epsilon'$  total =  $\Sigma$   $\epsilon'_{\lambda'}$ 

εi=iパス目に加えられる歪

έμ= i パス目の歪速度

ti=iパスからパス終了までの時間

A 1 ~ A 6 :定数(統計的手法により決定さ

れる係数)

3. 発明の詳細な説明

(産業上の利用分野)

特開昭61-15916(2)

本発明は熱間圧延によって厚板及びホットスト リップ等の鋼材を製造する方法に関するものであ る。

(従来の技術)

る。

鋼材の材質は一般に組織で決まる項と粒径で決まる項とその他の強化機構の項の和で表示でき、例えば引張強さ(TS)については(1)式と書ける。

 $TS = \sigma_f \times V_f + \sigma_p \times V_P + \sigma_B \times V_B + \sigma_M \times V_M + a \times d_f^{-\frac{1}{2}} + \sigma_o$  … (1) ここで  $\sigma$  は強度を、 V は体積率を、 d は粒径を示し、 f はフェライト、 P はパーライト、 B はベーナイト、 M はマルテンサイトを示す。 なお a は定数であり、  $\sigma$  o は析出強化加工硬化等の項であ

本発明はフェライト粒径を精度よく推定ない しは 適中 させる 手段 を提供する ものである。 従来フェライト 粒径を推定する方法というのは全くないといっても過言ではない。 強度の推定モデルにしても成分は当然としても熱間圧延終了温度と巻

ところが本発明者等が制御冷却の概念を基に実験・検討を重ねて追跡したところ、圧延及び冷却速度の制御によるフェライト粒径制御により幅広く材質を調整することが可能であり、かつフェライト粒径が把握できれば、従来方法では得られない精度で熱間圧延後の鋼材の材質が推定できることがわかった。

(発明が解決しようとする問題点)

本発明の目的は上記した知見をもとに、上記した従来の欠点をことごとく解消し、鋼材の材質を支配するその本質的な要因を制御して行なう革新的な熟聞圧延鋼材の材質調整方法を提供することを目的とするものである。

(問題点を解決するための手段)

本発明は上記の目的を達成するため次のように 構成している。すなわち

通常鋼を熱間圧延し、フェライトが生成する範囲で冷却停止して材質を調整する方法において、下記のフェライト粒度推定式を満足する熱間圧延条件、冷却速度、冷却停止温度を設定して目標材

取り又は冷却停止温度を変数にした簡単な重回帰 モデルがあるばかりで、この中にもフェライト粒 径という項目は入っていなかった。

例えば材質予測の従来技術としては特公昭 58-2246があるが、これにしても組織の制御のみで粒径の制御は全くぬけている状態である。

質を形成することを特徴とする熱間圧延鋼材の材質調整方法。

 $N_{\alpha} = A_1 + A_2 \times \log \epsilon' total + A_3 \times$ 

 $log(0.45 \times C eq + 0.84) + A_4 \times log Z$ + A 5 × (lnCR) + A 6 × log(CT + 273)

Να : フェライト粒度番号

CR: 冷却速度 (°c/s)

CT: 巻取温度又は冷却停止温度 (°C)

Z: 最終パスのZener-Hollomorパラメ

ーター

 $Z = \dot{\epsilon} \times \exp(Q/RT)$ 

É = 最終パスの歪速度 (sec<sup>-1</sup>)

T=最終パスの圧延温度 (K)

Q=活性化エネルギー

 $= 75282.353 - 42745.098 \times$ 

Ceq (cal/mol)

R=気体定数

 $\varepsilon'$  total:  $\varepsilon'_{\lambda} = \varepsilon_{\lambda} \times \exp\{-\left(\frac{t i}{\tau}\right)^{\kappa}\}$ 

$$k = 1.8 \times 10^{-5} \times \dot{\epsilon}_{\lambda}^{0.38} \times exp(\frac{20084}{RT})$$

$$\tau = 2.66 \times 10^{-8} \times exp(\frac{41300}{RT})$$

 $\epsilon'$  total =  $\Sigma$   $\epsilon'_{\epsilon'}$ 

εί= i パス目に加えられる歪

· έ μ = i パス目の歪速度

ti=iパスからバス終了までの時間

A」 ~ A 6 : 定数 (統計的手法により決定される係数)

である。

まず、フェライト粒径 dα は(2) 式で表す。

$$d_{\alpha} = A \times \epsilon^{\beta} \times Z^{m} \times g_{1}(Ceq) \times g_{2}(CR) \times g_{3}(CT) \qquad \cdots (2)$$

すなわち、温度が高くなるほど与えた歪より実質的に有効な歪は減ずるという考えに立ち、さらにパス間時間をも考慮して(3) 式の如く歪を補正

$$g_3 (07) = (\frac{1}{C7 + 278})^r \cdots (7)$$

ここでP,a,ょは指数である。

(2) 式に(4),(5),(6),(7) 式を代入し、両辺対数をとると、 da から Na(フェライト粒度番号) に変換できて(8) 式が得られる。

Nα = A<sub>1</sub> + A<sub>2</sub> × log ε'total + A<sub>3</sub> × log(
0.45 × C eq + 0.84) + A<sub>4</sub> × log Z + A
5 × (2πCR) + A<sub>5</sub> × log(CT + 273)

... (8)

更に最小2乗法で係数を決定して(9) 式となる。

 $N \propto = 9.059 + 2.096 \times log \ E'total + 49.415$ 

 $\times \log(0.45 \times C \text{ eq} + 0.84) + 0.521$ 

 $\times$  log Z + 0.573  $\times$  log(LnCR) - 1.717

$$\times \log(CT + 273)$$
 ... (8)

式の寄与率は R<sup>2</sup> = 0.808 ,  $\hat{\sigma}$  = 0.35であった。式の寄与率から明らかなように本発明方法によると、極めて高い精度でフェライト粒径を推定することができる。

なお、本発明でいう冷却停止温度とは、コイル

した。

$$\epsilon'_{\lambda} = \epsilon_{\lambda} \times \exp\{-\left(\frac{\operatorname{ti}}{\tau}\right)^{k}\}$$
 ... (3)

εί: 加えた真ひずみ

ε΄λ:補正した真ひずみ

ti:時間(i パスから最終パス終了までの

時間)

$$k = 1.8 \times 10^{-5} \times \dot{\epsilon}_{\chi}^{0.38} \times exp(\frac{20064}{RT})$$

$$\tau = 2.68 \times 10^{-8} \times exp(\frac{41300}{RT})$$

R: 1.987

T: 絶対温度

(3) 式を用いてi パスの真歪が最終パスで ε'ε となると考え、補正した歪のトータルを(3) 式の ε'totai として求める。

$$\varepsilon'$$
 to tal =  $\Sigma$   $\varepsilon'_{\alpha}$  ... (4)

次にg1 、g2 、g3 については次の式で求める。

$$g_1$$
 (Ceq) =  $(0.45 \times Ceq + 0.84)^p$  ... (5)

$$g_2 (CR) = (2n CR)^9 \cdots (8)$$

状に鋼板を巻取るときは、巻取り時の温度・板状のままの時は冷却終了時の温度を指す。

(作用)

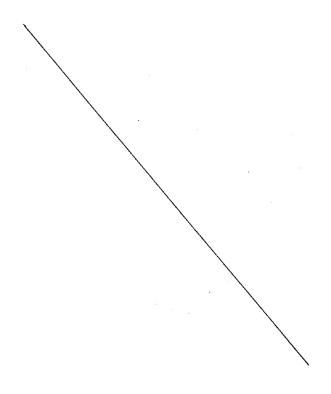
本発明によってフェライト粒径を求め、これを(1)式に代入することによって得られる材質を指定し、これをもとに、必要材質から必要なフェライト粒径を(1)式から求めるとともに、そのフェライト粒径をつくり出す圧延条件、冷却条件を(2)式から求めることによって効率よく、歩留よく、必要な材質の鋼材を製造することができるのである。

## (実施例)

次に本発明の1実施例を表1に示す。表1から わかるように本発明によれば、非常によい精度で フェライト粒径を算出できることがわかる。

これによって既述のごとく、このフェライト粒径と材質の関係、例えば(1)式を用いることによって材質予測をするか、あるいは必要材質から必要フェライト粒度を求め、それを達成する圧延条件、冷却条件を(2)式により求め、これにより

目標の製品の実製造が可能となることが明らかと なった。



## (発明の効果)

以上の説明から明らかなように圧延条件、冷却 条件がいかに変化しても本発明によると必要な材 質を得るに必要なフェライト粒度を精度よく推定 することが可能であり、かつまた生成したフェラ イト粒度から材質を推定でき、その結果鋼材の熱 間圧延における材質推定精度が大幅に向上するの で、きわめて効率のよい熱間圧延が可能となって 歩留りの向上、コストの低減等の大きな効果が得 られる.

> 特許出願人 代理人 弁理士 矢 斉 知 之 (ほか1名)

£	ပဗ	<b>₽</b> 8	圧延開始 温度 "O	圧延終了 温度 "0	卷取り又は冷却 停止温度(*C)	冷却速度 (°C/s)	压延速度 (m/s)	八一厚 (■)	仕上げ 厚(四)	指定粒 度番号	表现及成本
Θ	91.0	1.20	068	817	458	45	13.3	28	.2.0	12.0	12.2
0	0.16	1.20	910	800	556	47	10.0	28	2.0	12.4	12.4
@	0.18	1.20	926	802	9419	12	10.0	45	2.0	12.7	12.5
9	0.08	0.40	920	882	560	94	25.0	82	2.0	10.5	10.3
9	0.09	0.40	830	785	100	92	10.0	51	2.0	10.8	10.9
@	0.07	0.26	980	880	089	8	3.2	20	11.9	8.5	8.4
©	a. 13	0.59	086	875	999	81	8.7	<b>ŁÞ</b>	5.9	9.7	9.4
(9)	0.19	0.80	980	875	0 <b>7</b> 8	83	14.2	34	3.0	10.9	10.7
0	0.13	0.59	970	088	023	81	14.0	34	3.0	10.6	10.8
9	9.08	0.33	880	882	450	91	13.4	34	3.0	10.5	10.5